

РАСЧЕТ МАНОМЕТРИЧЕСКИХ ПРУЖИН

М. П. ШУМСКИЙ

(Представлена научным семинаром кафедры гирокопических приборов и устройств)

В практике приборостроения используются манометрические пружины с различными формами поперечного сечения, метод расчета которых зачастую неизвестен. Не решен вопрос об оптимальной форме сечения манометрических пружин. В связи с этим представляет интерес задача о напряжениях и перемещениях под действием давления p в пружине, форма сечения которой задана уравнением $y = y(x)$, где $y(x)$ — произвольная функция.

С целью упрощения исследования примем обычные в подобных задачах допущения:

1. Все участки пружины, выделенные сечениями, нормальными к оси пружины, находятся в одинаковых условиях.
2. Справедливы гипотезы о ненадавливании слоев и неизменности нормали.
3. Осевая линия трубки не растягивается.
4. Малая полуось сечения мала по сравнению с радиусом кривизны оси пружины ($b \ll R$).
5. Пружина симметрична относительно плоскости, в которой лежит ось пружины.

В дальнейшем предполагается, что сечение имеет две оси симметрии. Отсутствие симметрии по второй оси не создает принципиальных трудностей при использовании предлагаемого метода.

В работе используются обозначения:

- p — избыточное давление в пружине;
 a, b — большая и малая полуоси сечения;
 h — толщина стенки пружины;
 R — радиус кривизны оси пружины;
 x, y — координаты точки средней линии сечения;
 z, z_y — координата точки на нормали к стенке пружины, отсчитываемая от средней линии, и ее проекция на ось y ;
 E, μ — модуль упругости и коэффициент Пуассона;
 $\delta\gamma$ — относительный угол разгиба пружины;
 w, w_0 — смещение точки средней линии в направлении оси y и величина этого смещения в точке $x = 0$;
 T — нормальное усилие в сечении, отнесенное к единице длины средней линии;
 N — равнодействующая напряжений в сечении $x = a$ единичного кольца;

σ_1 — нормальное напряжение в сечении пружины;
 ϵ_1 — относительное удлинение средней поверхности
стенки в направлении напряжения σ_1 ;
 F — площадь сечения пружины;
 s — дуга средней линии сечения;
 $4l$ — периметр средней линии сечения;
 J — момент инерции площади сечения относительно
оси x ;
 g — интенсивность нагрузки на единичное кольцо,
обусловленной наличием нормальной силы T в се-
чении пружины;
 $v, \varphi, \psi, \Phi, \Psi, C$ — функции, зависящие от формы средней линии се-
чения;
 A — коэффициент, зависящий от формы и размеров се-
чения;
 $\kappa = \frac{Rh}{a^2}$ — параметр пружины.

Под действием давления p волокно AB части пружины, выде-
ленной двумя близкими поперечными сечениями, занимает положение
 A_1B_1 (рис. 1). Относительное удлинение

$$\epsilon_1 = \frac{CB_1}{AB} = \frac{CD - Db_1}{AB} = \frac{w\Theta - (y - z_y + w)\vartheta}{(R + y + z_y)\Theta}. \quad (1)$$

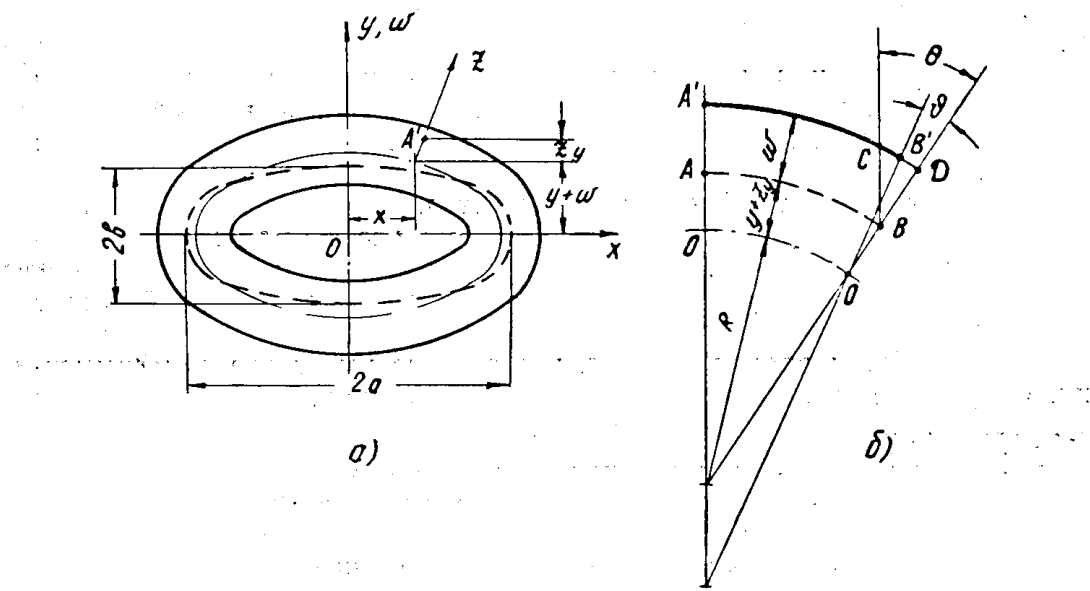


Рис. 1.
а — деформированное поперечное сечение пружины; б — деформация продольно-
го волокна

По условию задачи $y \ll R_1$, $z_y \ll R$. В области малых перемещений $w \ll y$. Пренебрежем в формуле (1) малыми членами

$$\epsilon_1 = \frac{w - y\delta\gamma}{R} - \frac{z_y\delta\gamma}{R}, \quad (2)$$

Здесь $\delta\gamma = \frac{\vartheta}{\Theta}$ — относительный угол разгиба пружины, w — проекция
на ось y перемещения точки A средней линии сечения.

Найдем нормальное усилие в сечении, отнесенное к единице длины средней линии сечения.

$$T = \frac{Eh}{R} (\delta\gamma \cdot y - w) \cdot \Theta. \quad (3)$$

Здесь E — модуль упругости, h — толщина стенки пружины.

Двумя нормальными сечениями вырежем из пружины единичное кольцо (рис. 2). Вследствие непараллельности сечений нормальные

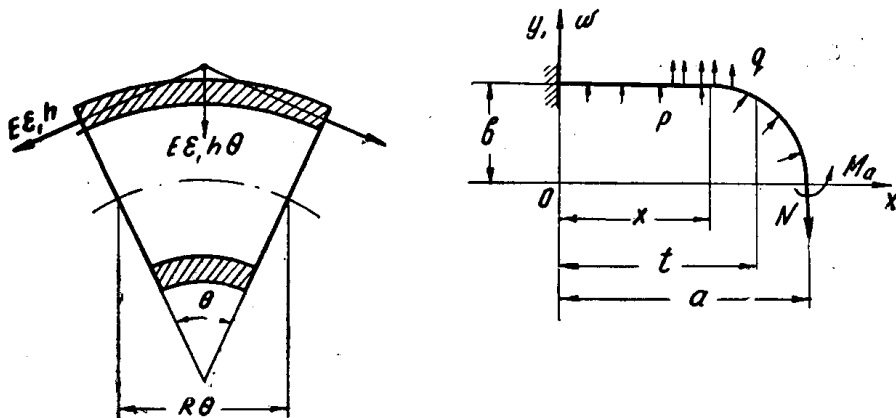


Рис. 2

усилия на участке ds единичного кольца дают равнодействующую $\frac{Tds}{R\Theta}$, параллельную оси y .

Форму средней линии сечения пружины после деформации можно найти, решив задачу об изгибе единичного кольца нормальной нагрузкой p и нагрузкой

$$g = \frac{T}{R\Theta} = \frac{Eh}{R^2} (\delta\gamma \cdot y - w), \quad (4)$$

параллельной оси y (рис. 2). На рис. 2 $N = pa + \int_0^a gds(x)$.

Чтобы отыскать зависимость между неизвестными w и $\delta\gamma$ в правой части формулы (4), используем условие отсутствия момента в сечении пружины

$$\int_F \sigma_1 (y + z_y) dF = 0, \quad (5)$$

здесь F — площадь сечения, σ_1 — нормальное напряжение в сечении.

Для сечения, симметричного относительно оси x , условия (5) равносильны следующему:

$$\int_F \epsilon_1 (y + z_y) dF = 0. \quad (6)$$

Учитывая, что $dF = ds \cdot dz$, а ϵ_1 определяется формулой (2), и выполняя интегрирование, найдем

$$h \int_0^{4l} ywds - J \cdot \delta\gamma = 0. \quad (7)$$

Здесь $J = \int_F^o (y + z_y)^2 dF$, $4l$ — периметр. (8)

Из уравнения (7)

$$\delta\gamma = \frac{4w_0 h}{J} \int_0^e y \frac{w}{w_0} ds. \quad (9)$$

Обозначим

$$v = \frac{w}{w_0}; \quad A = \frac{4ah}{J} \int_0^e y v ds. \quad (10)$$

Преобразуем формулу (4), учитывая (9) и (10),

$$g = \frac{w_0 Eh}{R^2} \left(\frac{A}{a} y - v \right). \quad (11)$$

Изгибающий момент в сечении единичного кольца (рис. 2)

$$M = -M_a + N \cdot (a - x) - p \frac{(a - x)^2}{2} - p \frac{y^2}{2} - \int_x^a g(t) (t - x) \cdot ds(t). \quad (12)$$

Сечения $x = 0$ и $x = a$ в силу симметрии не поворачиваются, следовательно,

$$\int_0^e M ds = 0. \quad (13)$$

Из (13), учитывая (11) и (12) и введя обозначения

$$\frac{1}{2} \int_0^x \left(1 - \frac{x^2 + y^2}{a^2} \right) ds(x) = a\psi, \quad (14)$$

$$\int_0^x \left[(a - x) \int_0^e y ds - \int_x^a xy ds(x) + x \int_x^a y ds(x) \right] ds(x) = ba^3\varphi_1, \quad (15)$$

$$\int_0^x \left[(a - x) \int_0^e v \cdot ds - \int_x^a xv ds(x) + x \int_x^a v ds(x) \right] ds(x) = a^3\varphi^2, \quad (16)$$

$$\varphi_2 - A \frac{b}{a} \varphi_1 = \varphi, \quad (17)$$

найдем

$$w_0 = \frac{R^2}{Eh} \left(p \frac{\psi(a)}{\varphi(a)} - \frac{M_a l}{a^3 \varphi(a)} \right). \quad (18)$$

Момент M_a найдем из условия, что вертикальное перемещение сечения $x = a$ отсутствует

$$w(a) = w_0 - \frac{12(1 - \mu^2)a}{Eh^3} \int_0^a \left[\int_0^s M ds \right] dx = 0. \quad (19)$$

Выполнив в (19) почленное интегрирование и заменив w_0 его значением по (18), найдем

$$M_a = pa^2 \frac{\frac{x^2}{12(1 - \mu^2)} \psi(a) + \Phi \cdot \psi(a) - \Psi \cdot \varphi(a)}{\frac{l}{a} \left[\frac{x^2}{12(1 - \mu^2)} + \Phi \right] - C \cdot \varphi(a)}. \quad (20)$$

Здесь

$$\Phi = \frac{1}{a} \int_0^a \varphi dx, \quad \Psi = \frac{1}{a} \int_0^a \psi dx, \quad C = \frac{1}{a^2} \int_0^a s dx, \quad \kappa = \frac{Rh}{a^2}. \quad (21)$$

Зная M_a , из (18) найдем w_0

$$w_0 = \frac{pR^2}{Eh} \frac{\frac{a}{e} C \cdot \psi(a) - \Psi}{\frac{x^2}{12(1-\mu^2)} + \Phi - \frac{a}{e} \cdot C \cdot \varphi(a)}. \quad (22)$$

Максимальная величина напряжения в сечении $x = a$ без учета концентрации напряжений

$$\sigma_a = 6 \frac{M_a}{h^2}. \quad (23)$$

Относительный угол разгиба пружины

$$\delta\gamma = w_0 \frac{A}{a}. \quad (24)$$

Неизвестную функцию v , входящую в решение, зададим приближенно в виде

$$v = 1 - \frac{7}{4} \frac{x^2}{a^2} + \frac{3}{4} \frac{x^4}{a^4} + \varepsilon \frac{x^2}{a^2} \left(1 - \frac{x^2}{a^2}\right), \quad (25)$$

причем

$$\varepsilon = \frac{16}{3} \frac{w' \left(\frac{a}{2}\right)}{w'_0} - \frac{13}{4}. \quad (26)$$

Здесь $(')$ означает, что величины вычислены при $\varepsilon = 0$.

Полученное решение применено к расчету пружин плоскоовального сечения.

Для плоскоовального сечения, полагая в (25) $\varepsilon = 0$, найдем

$$J = 4hb^2(a-b) \left(1 - \frac{1}{12} \frac{h^2}{b^2}\right) + \frac{\pi}{4} \left[\left(b + \frac{h}{2}\right)^4 - \left(b - \frac{h}{2}\right)^4 \right], \quad (27)$$

$$A = \frac{34}{15} \frac{a^2 b h}{J}, \quad C = \frac{1}{2} + \frac{\pi - 3}{2} \frac{b^2}{a^2}, \quad (28)$$

$$\varphi(a) = \frac{5}{21} + 0,04 \frac{b^2}{a^2} - \frac{ab^2h}{J} \left[\frac{34}{45} + 0,16 \frac{b^2}{a^2} - 0,023 \frac{b^3}{a^3} \right], \quad (29)$$

$$\psi(a) = \frac{1}{3} - \left(2 - \frac{\pi}{2}\right) \frac{b^2}{a^2} + \left(\frac{5}{3} - \frac{\pi}{2}\right) \frac{b^3}{a^3}, \quad (30)$$

$$\Psi(a) = \frac{5}{24} - \frac{1}{4} \frac{b_2}{a^2} + \left(\frac{3\pi}{4} - \frac{7}{3}\right) \frac{b^3}{a^3} + \left(\frac{19}{8} - \frac{3\pi}{4}\right) \frac{b^4}{a^4}, \quad (31)$$

$$\Phi = 0,1523 + 0,0113 \frac{b^3}{a^3} - \frac{ab^2h}{J} \left[0,472 + 0,04 \frac{b^3}{a^3} \right]. \quad (32)$$

Максимальное напряжение и относительный угол разгиба найдем по формулам (20) \div (24), предварительно вычислив $\psi(a)$, $\varphi(a)$, Φ , Ψ , C по формулам (27) \div (32). Учитывая, что задача об отыскании относи-

тельного угла разгиба $\delta\gamma$ плоскоовальной пружины решена ранее с достаточной точностью [1] и решение это широко применяется, рассмотрим другой вариант определения напряжений.

Из формул (18), (23), (24), (28) найдем

$$\sigma_a = p \frac{6a^3}{lh^2} \left[\psi(a) - \frac{E \cdot \delta\gamma}{p} \frac{15J\varphi(a)}{34abR^2} \right]. \quad (33)$$

Вычислив $\delta\gamma$ по известным формулам [1], а $\varphi(a)$, $\psi(a)$, J по формулам (27), (29), (30), найдем максимальное напряжение изгиба σ_a .

Пример. Определить максимальное напряжение в пружине плоскоовального сечения размерами $R = 40 \text{ мм}$, $a = 4 \text{ мм}$, $b = 1 \text{ мм}$ $h = 0,16 \text{ мм}$ при давлении $p = 1 \text{ кг}/\text{см}^2$. Коэффициент Пуассона $\mu = 0,3$.

По формулам (27) – (32) находим:

$$J = 0,243 \cdot 10^{-3} \text{ см}^4, \quad \psi(a) = 0,308, \quad \varphi(a) = 0,039, \quad (34)$$

$$C = 0,504, \quad \Psi = 0,193, \quad \Phi = 0,0282.$$

Максимальное напряжение по формулам (20), (22)

$$\sigma_a = 728 \frac{\kappa\varphi}{cm^2}.$$

Относительный угол разгиба по формулам (22), (24)

$$\delta\gamma = \frac{1,33 \cdot 10^4}{E}.$$

По известным формулам Л. Е. Андреевой для плоскоовального сечения [2]

$$\sigma_a = 575 \frac{\kappa\varphi}{cm^2}, \quad \delta\gamma = \frac{1,31 \cdot 10^4}{E}.$$

По формулам Вюста для тонкостенных пружин [2]

$$\sigma_a = 727 \frac{\kappa\varphi}{cm^2}, \quad \delta\gamma = \frac{1,39 \cdot 10^4}{E}. \quad (35)$$

Выводы

В работе рассмотрен вопрос о расчете манометрических пружин с произвольной формой сечения. Задача сводится к интегрированию известных функций. Найденное решение применено к расчету плоскоовальных пружин. Получены простые рабочие формулы для определения напряжений и перемещений. Сравнение на конкретном примере различных методов расчета показывает, что предлагаемый метод дает результаты, близкие к достаточно строго обоснованным результатам Вюста [4].

ЛИТЕРАТУРА

1. Л. Е. А н д р е е в а. Упругие элементы приборов. Машгиз, 1962.
2. W. W u e s t. Die Berechnung von Bourdonfedern, «VDJ — Forschungsheft 489», приложение к «Forschung auf dem Gebiete des Ingenieurwesens», издание В., т. 28, 1962.